石炭灰埋立地盤に対する静的締固め工法の適用性(その1) ~試験施工結果に基づく液状化評価と締固め改良率について~

大成建設株式会社 正会員○天野 喜勝, 正会員 広重 敬嗣, 正会員 城山 翔平 中部電力株式会社 市橋 豊隆, 喜多 千砂子 不動テトラ株式会社 正会員 鵜野 雅明,正会員 尾形 太

1. はじめに

石炭火力発電所等において排出される石炭灰の有効利用の拡大が求められる中、石炭灰埋立地盤の液状化対策と して、クリンカアッシュ(CA)を杭芯材に用いた静的締固め工法(SAVE)の試験施工を実施し、締固め改良率に 応じて杭間地盤の密度増大効果が得られることを確認した. 本論文では, 試験施工前後の杭間地盤の液状化強度試 験結果を用い、中規模・大規模地震動に対する液状化の検討を行ったので、以下に報告する.

2. 試験施工の概要

試験施工における改良杭配置および土 層断面を図1に示す. 試験施工は, 正方形 配置ピッチ(以下,□で表記)で□1.2m(改 良率 26.7%), □1.4m (同 19.6%), □1.6m (同15.0%)で実施し、石炭灰埋立地盤に φ 700mm の CA 杭を静的圧入した.

3. 試験施工結果の概要

地盤調査は、SAVE 改良前および改良後 3か月経過時において、図1中に示す位置 で実施した.

改良前後の石炭灰埋立地盤におっ いて得られた物理試験結果を表 1 に, 平均 N 値を表 2 に, 三軸 CD 試験および液状化試験の結果を表 3 および図 2 に示す.

表 1より、改良後は改良前より -

も密度が増加し, 杭間地盤の締固め効果が 得られている.表3からは、改良後地盤に おける内部摩擦角(φd)egおよび液状化強度 比 R_{L15} が改良前に比べて増加し、SAVE に よる締固め改良効果を確認できる. ここ で、 $(\phi_d)_{eq}$ は三軸 CD 試験により得られた

盛土	11/5/1/5	□1.2mピッチ(26.7%)		口1.4mピッチ(19.6%)		□1.6mピッチ(15.0%)		
砂礫	原地盤 ▽+3.73m	9. 6m	9.9m	11. 2m	10. O m	12.8m		
石炭灰粘性土	静的物面の改良		10.8m		12.6m			

図 1 試験施工平面図および土層断面図

表 1 石炭灰埋立地盤の物理試験結果

	改良ピッチ (改良率)	細粒分 含有率 Fc	粘土分 含有率 Pc	平均 粒径 D50	塑性 指数	土粒子 密度 ρs	乾燥 密度 ρd	飽和 密度 ρsat	間隙比 e	相対 密度 Dr	締固め度 Dc
		(%)	(%)	(mm)	Ip	(g/cm ³)	(g/cm ³)	(g/cm ³)		(%)	(%)
改良前	_	64.6	10.5	0.072		2.20	0.85	1.46	1.54	67.7	81.2
改良後 (杭間)	□1.6m(15.0%)	67.6	17.7	0.036	N.P.	2.24	0.94	1.51	1.38	95.1	89.8
	□1.4m(19.6%)	85.9	21.0	0.019		2.22	0.99	1.55	1.26	112.0	94.9
	□1.2m(26.7%)	77.9	21.3	0.028		2.23	1.02	1.56	1.20	120.4	97.5

(杭間)

表 2 石炭灰埋立地盤の平均 N 値

標高	11. da 14.	改良後平均N值(杭間)						
無向 K.P.(m)	改良前 平均N値	□1.6m (15.0%)	□1.4m (19.6%)	□1.2m (26.7%)				
2.44	4.3	4.3	6.7	11.7				
1.44	5.7	11.0	12.3	16.7				
0.44	4.3	7.0	5.7	9.0				
0.56	1.3	3.3	2.3	5.3				

改良ピッチ (\$ d) eq (γ_{SA}=5%) (改自率) 改良前 38.2 0.390 □1.6m(15.0%) 38.8 0.497 改良後 □1.4m(19,6%) 38.4 0.553

42.9

0.739

□1.2m(26.7%)

表 3 石炭灰埋立地盤の力学試験結果

粘着力 Cdをゼロとして換算して求めた等価な内部摩擦角である. また, RL15は「建築基礎構造設計指針(以下,建築基礎指針)」に用いられる液 状化強度比であり、せん断ひずみ片振幅 γ_{SA} =5%に対する繰返し 15 回 の繰返し応力振幅比である.

4. 液状化に対する検討方法

検討ケースの一覧を表 2 に示す. 検討方法は, 簡易法・詳細法(1)・詳 細法(2)の3手法とした. 簡易法・詳細法(1)における液状化判定は, 建築 基礎指針に従う. 液状化安全率 F_L は、本論文においては $F_L = \mathbf{R}/\mathbf{L}$ と表 し, L を地震時せん断応力比, R を液状化抵抗比と呼ぶこととする.

▲不攪利試料(改良前) 不攪乱試料(改良後□1.6m) 不攪利試料/改良後□1.4m) 1.0 •不攪乱試料(改良後□1.2m) 0.8 0.6 0.4 0.0 10 1000 繰返し載荷回数 No

図 2 液状化強度曲線 Nc~R_L(γ_{sA}=5%)

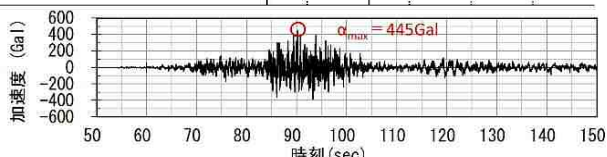
キーワード 石炭灰, 液状化, 静的締固め工法

連 絡 先 〒163-0606 新宿区西新宿 1-25-1 大成建設㈱土木設計部 TEL03-5381-5418

簡易法では、地表面加速度 α_{max} を用いて L を算定するとともに、改良後の R は締固め改良設計法 (D 法) による改良後 N 値から建築基礎指針の液状化強度比推定式により算定した。詳細法(1)では、等価線形解析 SHAKE により得られた各深度の最大せん断応力 τ_{max} より L

-		14 2 /121八	に授討ソ	\sim	見	50.000	Santa Control			
		AND YORK		検討ケース						
検討 方法	対象地震動	地震時 せん断応力比	液状化 抵抗比	改	良前	改良後杭間地盤				
	(M:マグニチュート")	1.	R	К0		K0	□1.6m (15.0%)	□1.4m (19.6%)		
箭易法	α _{mex} -200Gal (M-7.5)	建築基礎指針	建築基礎指針	0.5	A1-0	0.5	A1-1	A1-2	A1-3	
	α _{mta} =350Gal (M=9.0)	(地表而加速度 α_{max})	年次を施口引	0.5	A2-0	0.5	A2-1	A2-2	A2-3	
詳細法(1)	20	SHAKE解析	建築基礎指針	0.5	B-0	0.5	B-1a	B−2a	B−3a	
11-3m (27(1)	南海トラフ 過去地震最大	(各深度の τ _{max})	(R _{L15} 試驗值)	0.0	D-0	1.0	B-16	B-2b	B-3b	
詳細法(2)	順公地展取入 (M=8.4)	有効応力解析(FLIP)により 液状化程度を直接評価		0.5	C-0	0.5	C-1a	C-2a	C-3a	
	a) 2.				U-0	1.0	C-1b	C−2b	C-3b	

海供ル検討ケース一覧



を算定し、R は液状化試験により得られた RLIS を直接用いて算定した. 詳細法(2)では、図 2 の液状化強度曲線を目標にパラメータ設定した一次元有効応力解析 FLIP より、液状化の程度を直接評価した. 詳細法(1)・詳細法(2)の SHAKE・FLIP 解析においては、愛知県公開の南海トラフ過去地震最大の基

いては、愛知県公開の南海トフン過去地震最大の基盤地震動(図 3)を、 $V_s \ge 400 \text{m/s}$ の工学基盤面に入射して用いた。また、詳細法(1)・詳細法(2)の改良後地盤のケースにおいて、萩原らりが明らかにしている締固め改良後地盤の静止土圧係数 K_0 の増大効果を考慮し、一般的に用いられる $K_0=0.5$ の他、 $K_0=1.0$ のケースも検討した。また、簡易法・詳細法ともに、改良後地盤で $K_0=0.5$ としたケースにおいては、R を設定する際に「建築基礎のための地盤改良設計指針案」に示される締固め改良による液状化強度比の割増し 1.1 倍を考慮した。

5. 液状化の検討結果

簡易法および詳細法(1)の検討結果を表 3 に示す。表 3 より,簡易法の検討においては,中規模地震を想定した $\alpha_{\max} = 200 \text{Gal}$ のケースでは改良前・改良後ともに液状化程度が軽微と判断される $P_L \leq 5$ となった.一方,大規模地震を想定した $\alpha_{\max} = 350 \text{Gal}$ のケースでは,改良前には液状化

程度が甚大とされる $15 < P_L$ であるのに対し、改良後は $P_L \le 5$ に軽減されている. 次に、南海トラフ地震を対象とした詳細法(1)についてみると、改良前には $15 < P_L$ であるのに対し、改良後では $K_0 = 0.5$ のケースにおいては $\square 1.2m$ によって $P_L \le 5$ を満足し、 $K_0 = 1.0$ を考慮した場合においては改良後の全てのケースで $P_L \le 5$ を満たす結果となった.

最後に,詳細法(2)の有効応力解析による,最大値応答分布と石

図 3 南海トラフ過去地震最大モデルの基盤地震動

検討 方法		改良前地	監	改良後杭間地盤							
	K0			K0	□1.6m(15.0%)		□1.4m(1	9.6%)	□1.2m(26.7%)		
	K0	ケース	P_{L}	NU	ケース	P_{L}	ケース	P_{L}	ケース	P_{L}	
簡易法	0.5	A1-0	1.5	0.5	A1-1	0.0	A1-2	0.0	A1-3	0.0	
	0.5	A2-0	15.1	0.5	A2-1	4.8	A2-2	3.4	A2-3	2.7	
詳細法 (1)	0.5	0.5 B-0 19.0	10.0	0.5	B−1a	11.6	B−2a	9.4	B−3a	2.4	
			1.0	B-1b	4.5	B-2b	2.0	B-3b	0.0		

表 3 簡易法・詳細法(1) 検討結果一覧

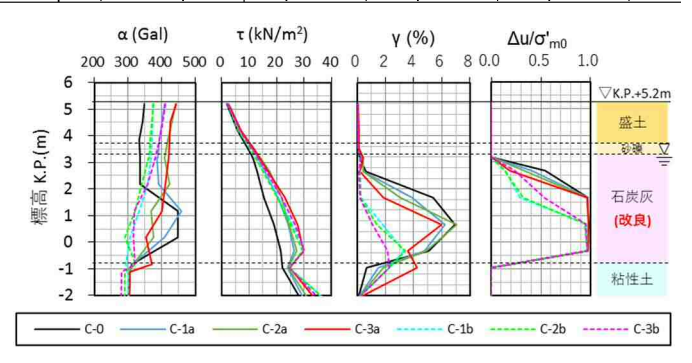


図 4 詳細法(2) 有効応力解析 FLIP 最大応答値深度分布

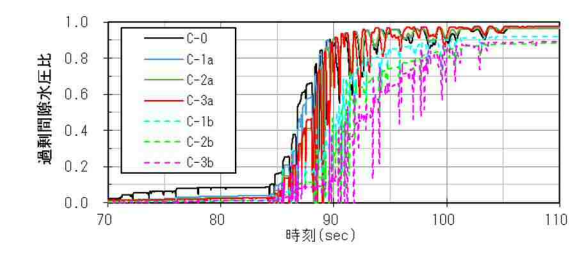


図 5 詳細法(2) 有効応力解析 FLIP 石炭灰層の過剰間隙水圧比時刻歴

炭灰層中央深度における過剰間隙水圧比の時刻歴を図 4, 図 5に示す.本結果より、改良前・改良後ともに、過剰間隙水圧比は最大 1.0 近くまで上昇しているが、改良後では改良前に比べてせん断ひずみ γ が小さく抑えられている.特に、改良後のうち K_0 =1.0 とした場合にはその違いが顕著であり、改良前は最大で γ =7%程度発生するのに対し、 \Box 1.6m および \Box 1.4m では最大 3%程度、 \Box 1.2m では最大 2%程度に抑制されている.本解析結果より、改良後地盤においては、過剰間隙水圧の上昇を生じながらも、地盤の剛性がある程度保持されているものと考えられる.

6. まとめ

石炭灰埋立地盤における静的締固め工法(SAVE)の試験施工結果を用い、液状化の検討を実施した.その結果、 高改良率の地盤においては、未改良地盤に比べて液状化被害を相当軽減できる可能性があることを確認した.今後 は、これらの液状化検討結果を参考として、最適な締固め改良仕様の設計を行っていく予定である.

参考文献

1) 萩原ら:石炭灰埋立地盤に対する静的締固め工法の適用性(その3),第52回地盤工学研究発表会,2017.(投稿中)